

и различных размерах частиц (10^{-6} м): ρ_{pm}/ρ_{pz} ($1 - \delta = 45$; $2 - \delta = 67$); u_{gm}/u_{gz} (3 — однофазная струя; $4 - \delta = 67$; $5 - \delta = 45$); u_{pm}/u_{pz} ($6 - \delta = 45$; $7 - \delta = 67$). Увеличение размера частиц усиливает неравнобесность течения по скоростям из-за уменьшения межфазной поверхности. Это вызывает уменьшение D_p и увеличение ρ_{pm}/ρ_{pz} . На фиг. 5 показано изменение ординат y_p , y_u , в которых концентрация дисперсной фазы и скорость газа соответственно достигают половины осевых значений при $\delta = 45 \cdot 10^{-6}$ м и различных κ_z : y_p ($1 - \kappa_z = 1$; $2 - \kappa_z = 0,5$); y_u ($3 - \kappa_z = 1$; $4 - \kappa_z = 0,5$; $5 - \kappa_z = 0$). При увеличении загрузки струя становится уже и дальнобойнее, что согласуется с выводами [1].

Заметим, что в рассматриваемых экспериментах [6] частицы в результате взаимодействия со стенками, видимо, приобретали значительную начальную поперечную скорость и соотношение $v_g = v_p$ не выполнялось. По всей вероятности, в данной работе завышена турбулентная диффузия массы дисперсной фазы поперек струи; необходимо дальнейшее уточнение значения эмпирической константы k_6 , от которой зависит величина $\langle \rho_p v_p' \rangle$.

Хорошее согласие результатов расчетов с экспериментальными данными позволяет использовать предложенную модель для численного исследования двухфазных турбулентных струй.

Поступила 3 III 1982

ЛИТЕРАТУРА

1. Абрамович Г. И., Гиршович Т. А. Турбулентные струи, несущие твердые или капельно-жидкие примеси. — В кн.: Парожидкостные потоки. Минск: ИТМО АН БССР, 1977.
2. Картушинский А., Фришман Ф. Численный расчет двухфазной турбулентной за-топленной струи. — Изв. АН ЭССР. Физика. Математика, 1980, т. 29, № 4.
3. Зуев Ю. В., Лепешинский И. А. Математическая модель двухфазной турбулентной струи. — Изв. АН СССР. МЖГ, 1981, № 6.
4. Danon H., Wollstein M., Hetsroni G. Numerical calculations of two-phase turbulent round jet. — Int. J. Multiphase Flow, 1977, vol. 3, N 3.
5. Hetsroni G., Sokolov M. Distribution of mass, velocity, and intensity of turbulence in a two-phase turbulent jet. — J. Appl. Mech., 1971, vol. 93.
6. Гиршович Т. А., Картушинский А. И. и др. Экспериментальное исследование турбулентной струи, несущей тяжелые примеси. — Изв. АН СССР. МЖГ, 1981, № 5.
7. Нигматулин Р. И. Основы механики гетерогенных сред. М.: Наука, 1978.
8. Коловандин Б. А. Моделирование теплопереноса при неоднородной турбулентности. Минск: Наука и техника, 1980.
9. Турбулентность. Принципы и применения/Под ред. У. Фроста, Т. Моулдена. М.: Мир, 1980.
10. Ивандаев А. И., Кутушев А. Г., Нигматулин Р. И. Газовая динамика многофазных сред. Ударные и детонационные волны в газовзвесях. — В кн.: Итоги науки и техники. Механика жидкости и газа. Т. 16. М.: ВИНИТИ, 1981.
11. Соу С. Гидродинамика многофазных систем. М.: Мир, 1971.
12. Буерайд Р. Течение газа со взвешенными частицами. М.: Мир, 1975.
13. Шрайбер А. А., Милотин В. И., Яценко В. П. Гидромеханика двухкомпонентных потоков с твердым полидисперсным веществом. Киев: Наукова думка, 1980.
14. Pismen L. M., Nir A. On the motion of suspended particles in stationary homogeneous turbulence. — J. Fluid Mech., 1978, vol. 84, pt 1.
15. Дорфман А. Л., Маев В. А. Численное моделирование струйных течений вязкой жидкости. — ИФЖ, 1976, т. 31, № 4.

УДК 539.217.082.3

ИССЛЕДОВАНИЕ ГАЗОДИНАМИЧЕСКОЙ ПРОНИЦАЕМОСТИ СЕТЧАТОГО ФИЛЬТРА НА Не, Ar, Xe

B. Д. Акиньшин, B. T. Породнов, B. D. Селезнев, B. B. Сургучев

(Свердловск)

Целый ряд проблем в науке, технике и технологиях удается разрешить с помощью мелкопористых мембран. В последнее время все более широкое применение находят мембранные, называемые сетчатыми фильтрами. Они получаются путем бомбардировки тонких полимерных пленок ионами высоких энергий [1]. Отличительные особенности таких мембран: высокая плотность и неперекрываемость пор, почти цилиндрическая

форма капалов, малая дисперсия пор по радиусам. Все эти свойства делают сетчатые фильтры незаменимыми в ряде случаев, так как качество фильтрации у них выше, чем у других типов мембран.

Имеется достаточное количество работ, посвященных исследованию течения газов при произвольных числах Кнудсена через капилляры и капиллярные сите контролируемой геометрии. В них показано, что газодинамическая проводимость различных газов чувствительна к геометрии, материалу, температуре и шероховатости поверхности каналов [2—4]. Аналогичных исследований по сетчатым фильтрам вышеуказанного типа практически нет, а они представляют несомненный интерес, так как позволяют выявить как особенности структуры пор самих сетчатых фильтров, так и физическую картину взаимодействия молекул различных газов друг с другом и с поверхностью каналов.

В данной работе приводятся результаты измерения потоков гелия, аргона и ксенона через образец сетчатого фильтра в широком диапазоне чисел Кнудсена ($0,5 < Kn < 500$) при температуре $T = 293$ К.

Методика измерений и принципиальная схема установки, на которой проводились исследования, подробно описаны в [4]. Использовался метод стационарного потока, основанный на определении скорости изменения объема системы при поддержании в ней постоянного давления p . Истечение газа через сетчатый фильтр производилось в вакуум. Исследуемый образец фильтра был изготовлен из полиэтилентерефталатной пленки толщиной $L = (1,00 \pm 0,05) \cdot 10^{-3}$ см. Плотность пор фильтра $N = (4,0 \pm 0,1) \cdot 10^7$ см $^{-2}$, средний радиус входных сечений пор $\langle R_0 \rangle = (1,25 \pm 0,30) \cdot 10^{-5}$ см, средний радиус выходных отверстий $\langle R_L \rangle = (2,6 \pm 0,3) \cdot 10^{-5}$ см. Оценка величин N , $\langle R_0 \rangle$, $\langle R_L \rangle$ проведена по фотографиям фильтра, полученным с помощью электронного микроскопа.

Сравнение экспериментальных результатов для различных газов осуществлялось в терминах относительного расхода ω как функции параметра разреженности δ , связанного с числом Кнудсена соотношением

$$(1) \quad \delta = \frac{\sqrt{\pi} \langle R \rangle}{2 \lambda} = \frac{\sqrt{\pi}}{2} \frac{1}{Kn},$$

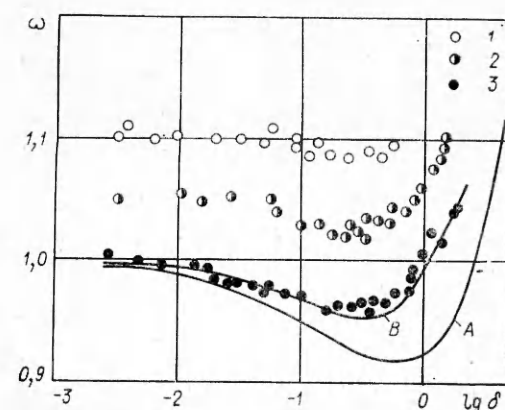
где $\langle R \rangle$ — средний радиус каналов сетчатого фильтра; λ — средняя длина свободного пробега молекул газа.

Относительный расход газа ω_i вычислялся по формуле

$$\omega_i = \frac{Q_i}{Q_{Xe}^0} \left(\frac{\mu_i}{\mu_{Xe}} \right)^{1/2},$$

где Q_i — объемный расход исследуемого газа; Q_{Xe}^0 — объемный расход ксенона в свободномолекулярном режиме течения; μ_i и μ_{Xe} — молекулярные веса исследуемого газа и ксенона соответственно.

На фигуре представлены экспериментальные значения относительных расходов He, Ar, Xe (точки 1—3) и нанесена теоретическая зависимость ω (δ) для длинных цилиндрических каналов (A), полученная в предположении полностью диффузного отражения молекул газа от стенок [5]. Радиус в формуле (1) при расчете экспериментальных зависимостей ω_i (δ_i) подбирался из условия наилучшего согласия опытных значений отно-



сительного расхода ксенона (как наиболее «диффузного» газа) с кривой A . Как видно из фигуры, глубина кнудсеновского минимума для ксенона в ~ 2 раза меньше, чем у теоретической кривой A . Такое отличие экспериментальных данных от теории не удается объяснить ни существующей дисперсией входных размеров пор, ни их конусностью. Проверено, что зависимость $\omega(p\langle R \rangle)$ для двух каналов, отличающихся по диаметру в 2 раза ($\langle R \rangle$ —

средний радиус каналов, p — давление на входе в канал), существенно не отличается от кривой $\omega(p\langle R \rangle)$ для одиночного капилляра с радиусом $R = \langle R \rangle$. Форма кривой $\omega(\delta)$ при промежуточных числах Кнудсена также мало чувствительна к конусности расширяющегося канала. В конусном канале при постепенном повышении давления режим со столкновениями молекул газа друг с другом возникает сначала в самом узком месте из-за приблизительно линейного уменьшения давления вдоль поры. Поэтому отклонение зависимости $\omega(\delta)$ от постоянного свободномолекулярного значения при увеличении давления в расширяющемся канале определяется размерами его входного участка и слабо зависит от диаметра выхода.

Только учет конечной длины канала ($L/\langle R \rangle \sim 80$) позволил вплотную сблизить опытную и теоретическую (B , см. фигуру) зависимости относительных расходов от параметра разреженности δ . Кривая B была получена на основе полуэмпирической формулы Лунда и Бермана [6], позволяющей произвести расчет потока газа через короткие каналы. Величина среднего радиуса пор, подобранныя из условия наилучшего согласия теории (B) и эксперимента, составила $\langle R \rangle = (1,35 \pm 0,10) \cdot 10^{-5}$ см, что в пределах погрешности опыта совпадает с радиусом входных отверстий пор, зарегистрированным электронным микроскопом. По превышению относительных потоков He и Ar в свободномолекулярном режиме над единицей (см. фигуру) были рассчитаны доли диффузного отражения газов, которые составили $\varepsilon_{He} = 0,95$, $\varepsilon_{Ar} = 0,97$. Эти данные в пределах ошибки эксперимента ($\sim 1\%$) совпадают с соответствующими значениями $\varepsilon_{He} = 0,95$, $\varepsilon_{Ar} = 0,98$ на плавленом стекле [3].

Это совпадение свидетельствует о достаточно высокой гладкости стенок пор исследуемого полиэтилентерефталатного фильтра, так как известно [4], что наличие шероховатости приводит к исчезновению различий в относительных расходах различных газов.

Поступила 14 XII 1982

ЛИТЕРАТУРА

- Барашенков В. С. Новые профессии тяжелых ионов. М.: Атомиздат, 1977.
- Борисов С. Ф., Неудачин И. Г. и др. Течение разреженных газов через отверстие при малых перепадах давления. — ЖТФ, 1973, т. 43, № 8.
- Акиньшин В. Д., Борисов С. Ф. и др. Экспериментальное исследование течения разреженных газов в капиллярном сите при различных температурах. — ПМТФ, 1974, № 2.
- Породнов Б. Т., Флягин А. Г. Экспериментальное исследование истечения гелия, неона и аргона в вакуум через длинный одиночный капилляр при температурах 295—490 К. — ПМТФ, 1978, № 4.
- Suetin P. E., Porodnov B. T. et al. Poiseuille flow at arbitrary Knudsen numbers and tangential momentum accommodation. — J. Fluid. Mech., 1973, vol. 60, pt 3.
- Lund L. M., Berman A. S. Flow and self-diffusion of gases in capillaries. — J. Appl. Phys., 1966, vol. 37, pt 1, 2.

УДК 536.24 : 532.517.4

ВЛИЯНИЕ НЕИЗОТЕРМИЧНОСТИ НА КОЭФФИЦИЕНТЫ СОПРОТИВЛЕНИЯ ПРИ ТЕЧЕНИИ ТУРБУЛЕНТНЫХ ДОЗВУКОВЫХ ПОТОКОВ В КАНАЛАХ

Д. И. Ламден, И. Л. Мостинский, М. Б. Резников

(Москва)

В настоящее время в литературе имеется несколько различных подходов к теоретическому определению коэффициентов сопротивления для неизотермического течения в каналах и трубах. Некоторые из них (например, [1—3]) предсказывают значительно более сильную зависимость коэффициентов сопротивления от температурного фактора $\Psi = T_w/T_\infty$ (T_w — температура стенки, T_∞ — температура в ядре потока), чем это следует из результатов экспериментальных работ [4—7]. В работах [8, 9], опирающихся на подробный численный анализ систем интегродифференциальных уравнений, достигается значительно лучшее согласование с имеющимися экспериментальными